

文章编号: 0258-7025(2007)03-0359-05

激光二极管端面抽运 Nd:GdYVO₄晶体热效应分析及倍频研究

孙尧, 李涛, 于果蕾, 张帅一, 李健

(山东师范大学物理与电子科学学院, 山东 济南 250014)

摘要 通过求解泊松热传导方程, 得出了端面抽运下矩形截面 Nd:GdYVO₄ 激光晶体内部温度场分布以及 Nd:GdYVO₄ 激光晶体抽运端面达到热平衡后的热形变量。当抽运功率为 12 W, 抽运光斑半径 $w_p = 320 \mu\text{m}$ 时, Nd:GdYVO₄ 激光晶体的热形变量为 $0.855 \mu\text{m}$ 。根据 Nd:GdYVO₄ 晶体内部温度场分布和晶体抽运端面达到热平衡后的热形变量, 进而计算出晶体热焦距随抽运功率的变化。通过 ABCD 矩阵进行了腔参数优化, 选取了更有效压缩 KTP 上基模光斑半径的 V 腔进行腔内倍频实验。在抽运功率为 6.71 W 时 Nd:GdYVO₄ 获得了 1.73 W 稳定倍频绿光输出, 光-光转换效率达到 25.8%, 绿光非稳度为 1.13%。

关键词 激光技术; 固体激光器; 热效应; 泊松方程; Nd:GdYVO₄ 晶体; 倍频

中图分类号 TN 248.1 文献标识码 A

Characteristics of Laser Diode End-Pumped Laser Crystal on Thermal Effect and Second Harmonic Generation

SUN Yao, LI Tao, YU Guo-lei, ZHANG Shuai-yi, LI Jian

(College of Physics and Electronics, Shandong Normal University, Jinan, Shandong 250014, China)

Abstract Based on Possion equation, a thermal model of rectangle end-pumped Nd:GdYVO₄ was built. The crystal temperature fields of Nd:GdYVO₄ were distributed. Then the distortion on pump face was calculated. When the pumping power is 12 W, the radii of pump beam is $w_p = 320 \mu\text{m}$, the distortion of Nd:GdYVO₄ is $0.855 \mu\text{m}$. Based on the previous calculation, the focus of thermal lens changing with input power was calculated. Using ABCD matrix to optimize cavity parameters, V-shaped folded cavity which could compress the laser mode radii on KTP effectively was selected. With the pumped power of 6.71 W, an 1.73 W output power of stable frequency-doubled green light was achieved by V-shaped folded cavity, giving an optical-optical conversion efficiency of 25.8%, and green light non-stability $\Delta \bar{P}/\bar{P} = 1.13\%$.

Key words laser technique; solid-state laser; thermal effect; Possion equation; Nd:GdYVO₄ crystal; second harmonic generation

1 引言

大功率激光二极管(LD)端面抽运固体激光器(DPSL)具有体积小、稳定性好、寿命长等优点, 近年来成为人们研究的热点^[1,2]。在大功率抽运过程中, 非辐射跃迁产生的热加上固体激光介质在光抽运的

过程中吸收的部分热量, 导致激光晶体温度升高, 与冷却系统的共同作用, 在晶体中形成温度梯度, 引起晶体的折射率以及热应力的变化, 对腔内激光模式产生影响, 即热透镜效应^[3]。分析、解决热透镜效应问题的关键是激光晶体内部温度场的准确计算。

目前有很多关于矩形截面激光晶体的内部温度

收稿日期: 2006-10-13; 收到修改稿日期: 2006-11-16

基金项目: 山东省科技厅科技攻关计划(031080125)资助项目。

作者简介: 孙尧(1981—), 女, 山东省青岛市人, 硕士研究生, 主要从事全固态激光器件和非线性光学等方面的研究。
E-mail: sunyao810122@gmail.cn

导师简介: 李健(1963—), 男, 山东省滕州市人, 教授, 主要从事固体激光器件和非线性光学的研究。
E-mail: lijian@sdnu.edu.cn (通信作者)

场和热形变量的报道^[4],但罕见对于矩形截面 Nd:GdYVO₄激光晶体的热效应分析。本文通过对激光二极管端面抽运、周边恒温冷却的矩形截面 Nd:GdYVO₄晶体的分析,求解泊松热传导方程,得出了 Nd:GdYVO₄激光晶体内部温度场分布,计算了 Nd:GdYVO₄激光晶体抽运端面达到热平衡后的热形变量,进而优化谐振腔参数。在此基础上采用 V 型折叠腔 KTP 腔内倍频^[5,6],在抽运功率为 6.71 W 时 Nd:GdYVO₄获得了 1.73 W 的稳定倍频绿光输出,光-光转换效率达到 25.8%,较以往的 Nd:GdYVO₄-KTP 绿光激光器^[1],输出功率和光-光转换效率都有了大幅的提高。

表 1 Nd:YVO₄, Nd:GdVO₄ 和 Nd:GdYVO₄ 激光特性参数比较
Table 1 Laser parameters of Nd:YVO₄, Nd:GdVO₄ and Nd:GdYVO₄

	Nd: YVO ₄	Nd: GdVO ₄	Nd: GdYVO ₄
Nd-iondoping concentration /%	0.5	0.5	0.5
Absorption coefficient (π) /cm ⁻¹	14.8	32.7	19.94
Absorption cross section /($\times 10^{-20}$ cm ²)	24.54 (π), 9.14 (σ)	17.29 (π), 7.14 (σ)	19.69 (π), 6.41 (σ)
Absorption FWHM /nm	8 (π), 15 (σ)	4 (π), 5.8 (σ)	4.5 (π), 8.5 (σ)
Emission full-width half maximum (FWHM) /nm	0.96	1.8	3.7
Fluorescence lifetime / μ s	105	100	110
Thermal conductivity /(W/(cm · K))	0.05	0.117	0.125
Thermal expansion coefficient (10^{-6} K ⁻¹)	11.37	7.3	9.33

3 温度分布以及热形变量的计算

3.1 激光晶体热模型

Nd:GdYVO₄ 晶体吸收部分抽运光能量产生热量,通过紫铜块中循环水向周围散失。当抽运光通过激光晶体中心时,热模型如图 1 所示^[8]。

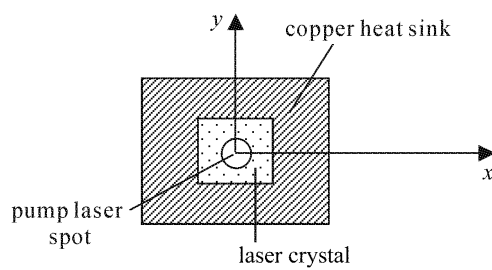


图 1 激光晶体热模型简图

Fig. 1 Schematic diagram of laser crystal thermal model

由于把晶体放置在紫铜块中用循环水进行冷却,所以假定晶体侧面温度保持相对稳定,设为 $u_w \approx 16$ °C。为了数学处理上方便,可以先预设为 0,最后再叠加上冷却水的温度。晶体两个通光端面与空气接触,热交换的热量远远小于通过晶体侧面热交

2 Nd:GdYVO₄ 和 Nd:YVO₄, Nd:GdVO₄ 的激光特性参数比较

Nd:YVO₄ 晶体具有较高的吸收系数和受激发射截面,Nd:GdVO₄ 晶体则具有较高的热传导率。在 Nd:YVO₄,Nd:GdVO₄ 的基础上,由 Y(Gd)部分地代替 Nd:GdVO₄(Nd:YVO₄)中的 Gd(Y)形成新的钒酸盐晶体 Nd:GdYVO₄。Nd:GdYVO₄ 具有和 Nd:YVO₄,Nd:GdVO₄ 相同的晶体结构,但由于融合了两种晶体的特点,具有自身的优势,如表 1 所示^[7]。

换流出的热量,因此可以假设晶体两个端面绝热,边界条件为

$$u\left(-\frac{a}{2}, y, z\right) = 0; \quad u\left(\frac{a}{2}, y, z\right) = 0, \quad (1)$$

$$u(x, -\frac{b}{2}, z) = 0; \quad u(x, \frac{b}{2}, z) = 0, \quad (2)$$

$$\left.\frac{\partial u(x, y, z)}{\partial z}\right|_{z=0} = 0; \quad \left.\frac{\partial u(x, y, z)}{\partial z}\right|_{z=l} = 0, \quad (3)$$

式中 a, b 为晶体矩形截面的长和宽, l 为晶体长度。

由于激光晶体内部有热源,遵循热传导泊松(Poisson)方程^[9~11]

$$K_x \frac{\partial^2 u}{\partial x^2} + K_y \frac{\partial^2 u}{\partial y^2} + K_z \frac{\partial^2 u}{\partial z^2} + q_v(x, y, z) = 0, \quad (4)$$

$$q_v = \frac{2\alpha P_{in}\eta}{\pi w_p^2} (1 - e^{-\alpha})^{-1} e^{-\frac{2[(x-\frac{a}{2})^2 + (y-\frac{b}{2})^2]}{w_p^2}} e^{-\alpha z}, \quad (5)$$

式中 α 为晶体吸收系数; η 为由荧光量子效应和内损耗决定的热转换系数, $\eta = 1 - \frac{\lambda_p}{\lambda_1}$, $\lambda_p = 808$ nm, $\lambda_1 = 1064$ nm; P_{in} 为输入功率, w_p 为光斑半径; K_x , K_y , K_z 为晶体各个方向上的热传导系数。

3.2 Nd:GdYVO₄ 晶体内部温度场分布以及热形变量

通过求解泊松方程,选择半导体激光器的抽运功率 $P_{in} = 12 \text{ W}$, $w_p = 320 \mu\text{m}$ 。得出 Nd:GdYVO₄ 晶体抽运端面温度场的分布如图 2(a) 所示, 图中圆环为等温线。图 2(b) 则为晶体内部中心轴线上的温度分布情况。

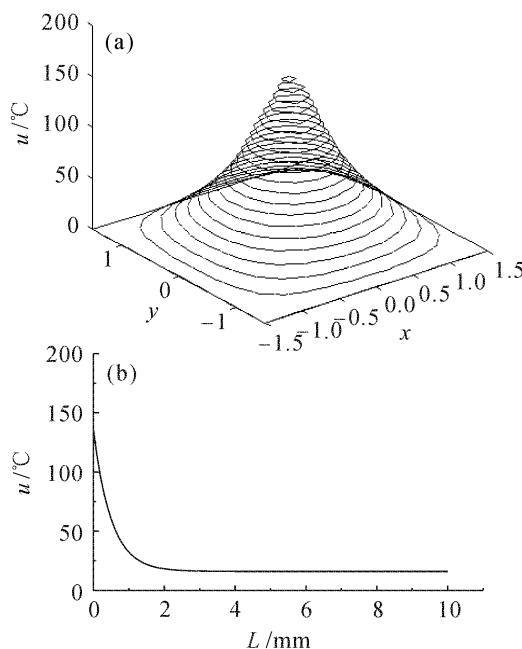


图 2 Nd:GdYVO₄ 晶体抽运端面(a)和抽运光中线($x = 0, y = 0$)上(b)的温度分布

Fig. 2 Temperature field distribution diagram (a) and centre temperature distribution diagram (b) of Nd:GdYVO₄

从图 2(a) 可以看出, Nd:GdYVO₄ 中心最高温升分别约为 150 °C。而且从图 2(b) 可以看出, Nd:GdYVO₄ 晶体前部中心温升比后部高很多。

设激光晶体内部一点温度为 0, 当达到热平衡之后, 温度变为 $u(x, y, z)$

$$\Delta T = u(x, y, z), \quad (6)$$

$$dl = \sigma u(x, y, z) dz, \quad (7)$$

$$\Delta l = \int_0^l dl = \int_0^l \sigma u(x, y, z) dz, \quad (8)$$

其中 σ 为激光晶体热膨胀系数。

激光晶体抽运端面的相对温升必然引起热形变。图 3 给出了当在抽运功率为 12 W, 光斑半径 $w_p = 320 \mu\text{m}$ 时, 激光晶体沿抽运光中心方向 ($x = a/2; y = b/2$) 上抽运端面具有的热形变分布对比图。Nd:GdYVO₄ 热形变量为 0.855 μm 。热形变改变了晶体通过方向上的有效长度, 并使晶体产生伴随热效应的高阶球差。

根据晶体内部温度场分布以及晶体表面热形

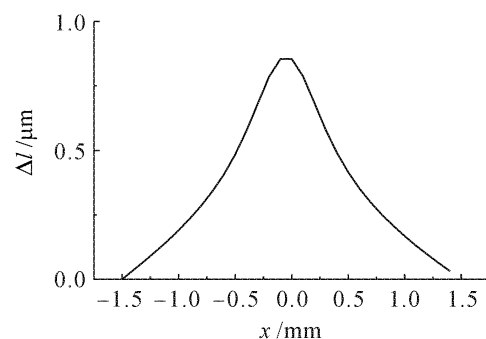


图 3 晶体抽运端面热形变图

Fig. 3 Thermal distortion of the pumped faces

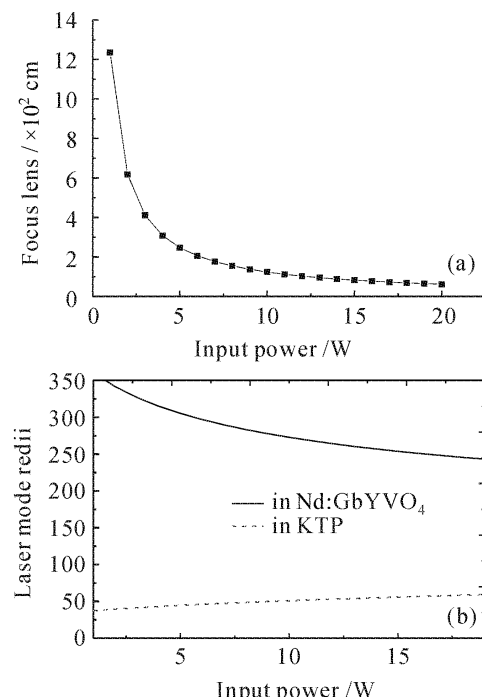


图 4 晶体热焦距(a)和光斑大小(b)随抽运功率的变化

Fig. 4 Focus of thermal lens (a) and laser mode radii in crystal (b) versus input power

变, 可计算出晶体的热焦距随抽运功率的变化^[10,11], 如图 4(a) 所示。由 ABCD 矩阵选取了更有效压缩 KTP 上光斑半径的 V 腔进行腔内倍频实验。激光晶体与倍频晶体上的光斑半径如图 4(b) 所示。

4 Nd:GdYVO₄ 晶体腔内倍频特性

根据以上理论计算, 采用 V 腔精确设定各个腔参数, 实现了 Nd:GdYVO₄-KTP 腔内倍频连续绿光输出, 实验装置如图 5 所示。

其中, LD 为美国相干公司生产的 FAP-System TM 型光纤耦合输出激光二极管, 发射中心波长为 808 nm, 最大输出功率为 30 W, 光纤输出孔径 $D = 0.8 \text{ mm}$, 数值孔径为 0.22; 光纤输出的激光经聚焦

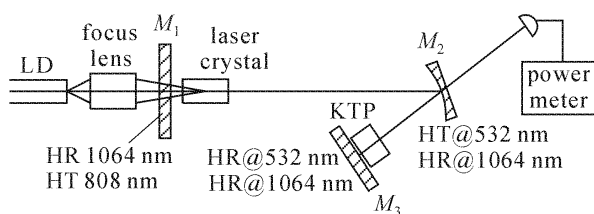


图 5 倍频特性实验装置示意图

Fig. 5 Schematic diagram of diode laser end-pumped second harmonic generation laser

耦合系统(focus lens)进行聚焦耦合, 聚焦比例为 1:0.8, 聚焦后的光斑半径为 $320 \mu\text{m}$; Nd:GdYVO₄ (Nd:YVO₄) 为 a 切割, 尺寸均为 $3 \text{ mm} \times 3 \text{ mm} \times 10 \text{ mm}$, Nd³⁺ 原子数分数均为 0.5%。晶体两面镀 808 nm 和 1064 nm 双色增透膜, 晶体放入紫铜块内采用循环水冷却。 M_1 为平面输入镜, 表面镀在 808 nm 高透和在 1064 nm 高反的介质膜, M_2 为凹面折返镜兼绿光输出镜, 曲率半径为 80 mm, 表面镀在 532 nm 高透和在 1064 nm 高反的双介质膜; M_3 为平面谐振腔端镜, 表面镀有在 532 nm 和 1064 nm 高反的双高反介质膜; KTP 晶体的通光长度为 10 mm, 考虑到激光的偏振特性, 晶体采用 45° 放置。为了比较两种晶体的倍频特性, 选择相同的谐振腔参数, 考虑到谐振腔的稳定性以及晶体的热透镜效应, 通过计算, V 型腔的两个臂长分别设计为 100 mm 和 45 mm。实验结果如图 6 所示。

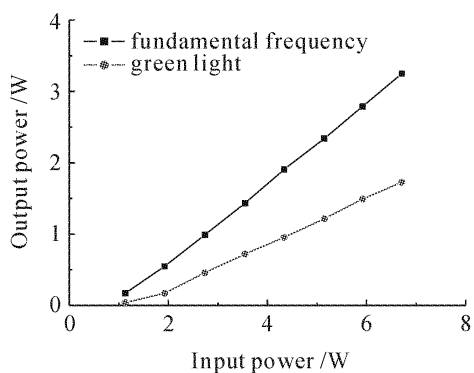


图 6 腔内基频以及倍频绿光输出特性

Fig. 6 Output of fundamental frequency and green light

采用 V 型折叠腔, 将图 5 中 M_3 换成表面镀有对 1064 nm 的透射率 $T = 10\%$ 的介质膜输出平面镜, 测量了激光器基频输出特性, 在抽运功率为 6.71 W 时获得了 3.25 W 的 1064 nm 基频光, 光-光转换效率达到 50.3%。放入 KTP 晶体, 腔内倍频, 在抽运功率为 6.71 W 时得到 1.73 W 的稳定倍频绿光输出, 光-光转换效率达到 25.8%。

为了测量绿光输出的稳定性, 在抽运功率为 6 W 时, 每隔 3 min 记录一个绿光输出功率, 图 7 所示为 1 h 内所记录的绿光输出。输出功率平均值为 $\bar{P} = 1.4939$, 求均方根误差 $\Delta \bar{P} = [\sum_{i=1}^n (P_i - \bar{P})^2 / n]^{1/2} = 0.01687$, 由此可求出 1 h 内功率非稳度为 $\Delta \bar{P} / \bar{P} = 1.13\%$ 。

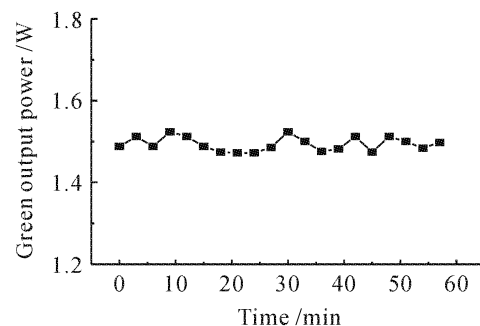


图 7 连续绿光输出随时间的变化关系

Fig. 7 CW green light output power with time

5 结 论

通过对激光二极管端面抽运激光晶体工作特点的研究, 设计了 Nd:GdYVO₄ 矩形截面激光晶体热模型, 利用激光晶体周边恒温两端绝热的边界条件求解泊松热传导方程, 得出了 Nd:GdYVO₄ 激光晶体内部温度场分布, 计算了 Nd:GdYVO₄ 激光晶体抽运端面达到热平衡后的热形变量, 进而推算出热透镜焦距随抽运功率的变化, 以优化谐振腔参数。用 V 型折叠腔压缩 KTP 晶体上的光束尺寸, 提高腔内倍频效率。在抽运功率为 6.71 W 时 Nd:GdYVO₄ 获得了 1.73 W 的稳定倍频绿光输出, 光-光转换效率达到 25.8%。发现虽然 Nd:GdYVO₄ 有较好的热性能, 但 Nd:GdYVO₄-KTP 绿光激光器的平均输出功率以及稳定性都低于 Nd:YVO₄-KTP 绿光激光器, Nd:GdYVO₄ 作为一种新型晶体还不成熟, 有待于进一步提高其激光特性指标, 才有可能成为更加优良的激光晶体。

参 考 文 献

- Jie Liu, Qianqian Peng, Jimin Yang et al.. Diode-pumped Nd: Y_xGd_{1-x}VO₄ crystal continuous-wave laser [J]. Chin. Opt. Lett., 2004, 2(1): 29~30
- Zheng Yi, Gao Mingyi, Yao Jianquan et al.. Study on thermal effect of anisotropic laser medium by LD end-pumped [J]. J. Optoelectronics • Laser, 2003, 14(10): 1094~1098
郑义, 高明义, 姚建铨等. LD 端面泵浦各向异性激光介质的热效应研究[J]. 光电子·激光, 2003, 14(10): 1094~1098
- Zhao Hongming, Zhao Shengzhi, Yang Kejian et al.. Q-switched intracavity doubling Nd: YVO₄/KTP laser with

- acoustic-optic [J]. *Acta Photonica Sinica*, 2004, **33**(11):1294~1297
- 赵宏明, 赵圣之, 杨克建等. LD 泵浦 Nd:YVO₄/KTP 内腔倍频声光调 Q 理论和实验研究[J]. 光子学报, 2004, **33**(11):1294~1297
- 4 Li Long, Shi Peng, Tian Laike et al.. Thermal deformation of a rectangle Nd-ion doped laser crystal by high power diode laser end-pumped [J]. *Acta Photonica Sinica*, 2006, **35**(4):499~503
- 5 Zhao Zhiming, Li Long, Tian Feng et al.. High power end-pumped intracavity frequency doubling watt-level green laser [J]. *Laser Technology*, 2003, **27**(4):331~333
- 赵致民, 李 隆, 田 丰等. 高功率端面泵浦腔内倍频瓦级绿光激光器[J]. 激光技术, 2003, **27**(4):331~333
- 6 Zhuo Zhuang, Jiang Qichang, Su Yanli et al.. Study for Cr⁴⁺: YAG passively Q-switched mode-locking properties of a new mixed vanadate crystal Nd:Gd_{0.42}Y_{0.58}VO₄ [J]. *Chinese J. Lasers*, 2005, **32**(10):1429~1432
- 卓 壮, 姜其畅, 苏艳丽等. 新型钒酸盐混晶 Nd:Gd_{0.42}Y_{0.58}VO₄/Cr⁴⁺: YAG 被动调 Q 锁模特性研究[J]. 中国激光, 2005, **32**(10):1429~1432
- 7 Zhu Li, Zhang Huaijin, Meng Xianlin et al.. Grown and laser properties of Nd:GdVO₄ crystal at 1064 nm [J]. *Journal of Synthetic Crystals*, 1999, **28**(3):229~232
- 祝 俐, 张怀金, 孟宪林等. Nd:GdVO₄晶体生长及其 1064 nm 的激光特性[J]. 人工晶体学报, 1999, **28**(3):229~232
- 8 Li Long, Shi Peng, Liu Xiaofang et al.. Thermal effect of quadrat laser crystal with diode laser end-pumped [J]. *Opto-Electronic Engineering*, 2005, **32**(4):35~38
- 李 隆, 史 彭, 刘小芳等. LD 端面抽运长方形激光晶体的热效应[J]. 光电工程, 2005, **32**(4):35~38
- 9 Shi Peng, Li Long, Liu Xiaofang et al.. Influence of eccentricity on thermal effect of Nd:GdVO₄ crystal with rectangle-section [J]. *J. Optoelectronics • Laser*, 2005, **16**(10):1187~1192
- 史 彭, 李 隆, 刘小芳等. 偏心度对矩形截面 Nd:GdVO₄ 晶体热效应的影响[J]. 光电子·激光, 2005, **16**(10):1187~1192
- 10 M. E. Innocenzi, H. T. Yura, C. L. Fincher et al.. Thermal modeling of continuous-wave end-pumped solid-state lasers [J]. *Appl. Phys. Lett.*, 1990, **56**(19):1831~1833
- 11 Ananada K. Cousins. Temperature and thermal stress scaling in finite-length end-pumped laser rods [J]. *IEEE J. Quantum Electron.*, 1992, **28**(4):1057~1069